

PCTの耐風安定性に関する基礎実験

九州工業大学 正員 渡辺 明
 同 正員 ○出光 隆
 同 学生員 豊福俊泰

1. まえがき

PCT工法が耐風安定性に優れていることはすでに報告した。⁽¹⁾⁽²⁾⁽³⁾しかしながら、現在PCTの設計の際、理論的に風荷重を考慮して各索の断面決定を行なうまでには至っておらず、そのためには風荷重による吊索張力の増加量が計算できなければならない。

そこで、筆者らは理論、実験の両面から検討を重ね、風荷重を静的に取扱つて吊索張力の増加量を求める式を提案し、また、実験結果と計算値との比較も行なつてみた。

2. 計算法の概要

図-1に示すように、PCTは各部の伸び率の関係から1本の柱に置き換えることができる。⁽¹⁾PCTは風荷重を受ければ、図-2に示すようにならざる。①はプレストレス(P)を導入したPCTを構成した場合、②は載荷点Cに荷重(G)を載荷した場合、③は風荷重(F_w)が作用した場合である。これらの場合、AC間、BC間の張力はそれぞれ図に示したようになる。ここに、 ΔP_u 、 ΔP_e はそれぞれAC間、BC間の張力増加量であり、 β は低減率と呼ばれ荷重Gが載荷されたとき下索が分担する率である。

ΔP_u 、 ΔP_e が求めれば、風荷重が作用した場合の主索にかかる等分布荷重は、

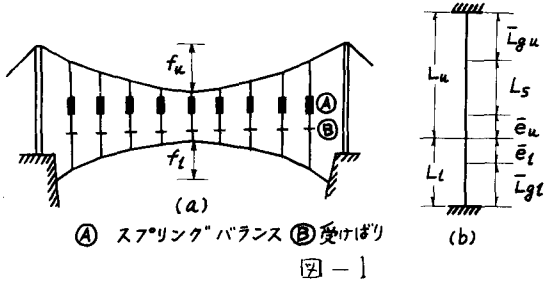
$$\text{上索に対して } g'_u = n \{ P + (1-\beta) G + \Delta P_u \} / l$$

$$\text{下索に対して } g'_e = n \{ P + \beta G + \Delta P_e \} / l$$

となる。ここに、nはPCTの吊索本数である。すなわち、風荷重の作用により、スパン全長にわたり等分布荷重が上、下索をそれぞれ $n\Delta P_u / l$ 、 $n\Delta P_e / l$ だけ増加することになる。これに応じた主索張力の増加量は簡単に求めることができる。

3. 合成の伸び率の計算法

ΔP_u 、 ΔP_e を計算するにはスプリングバランス、上・下サグの影響を考慮しなければならない。上・下サグ、スプリング、吊索等はいずれも異なる弾性係数(E)、断面積(A)、長さ(l)をもつて弾性体と考えられる。(サグは荷重に対する変位の関係から弾性体とみなしえ得る)しかし、EA = E_0 をのび剛さ



① スプリング" バランス ② 受けばり

図-1

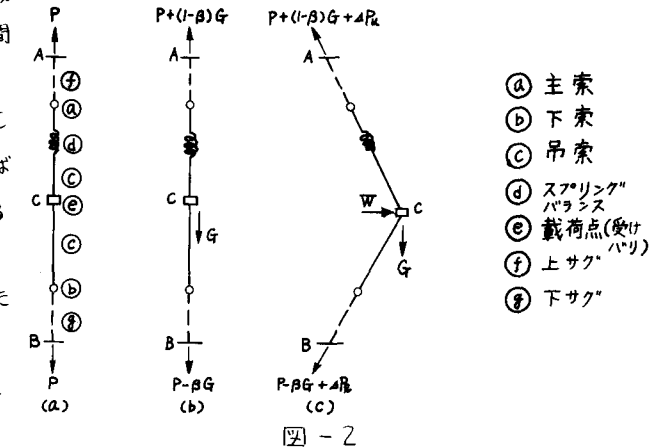


図-2

- ① 主索
- ② 下索
- ③ 吊索
- ④ スプリング" バランス
- ⑤ 載荷点(受けばり)
- ⑥ 上サグ
- ⑦ 下サグ

と呼ぶことにし、合成のび剛さという考え方を導入すれば、AC, BC間をそれぞれ一つの弾性体みなすことができる。いま、荷重Gによつて長さ ℓ_s 、バネ定数K_sのび剛さ $\delta\ell_s$ のスプリングバランスが $\delta\ell_s$ のびたとすれば、

$$G = K \cdot \delta\ell_s = K_s \cdot \delta\ell_s / \ell_s$$

が成立つ。したがつて、

$$\delta\ell_s = K \cdot \ell_s$$

となる。

バネ定数が異なる弾性体を二個直列に連結したとき、その合成バネ定数Kは次式で表わされることは周知のとおりである。

$$1/K = 1/K_1 + 1/K_2 + \dots + 1/K_n \quad (2)$$

したがつて、図-3に示したP CTの場合、AC間の合成のび

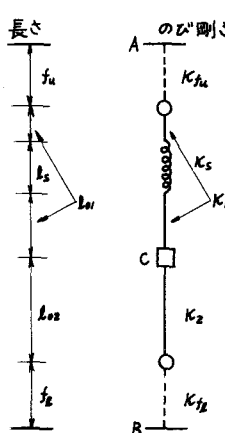


図-3

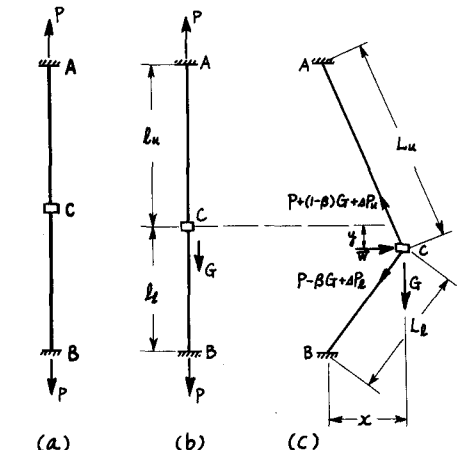


図-4

剛さ $\delta\ell_u$ 、BC間の合成のび剛さ $\delta\ell_e$ は(1), (2)式から次のように表わされる。

$$\delta\ell_u = \frac{\ell_u + \ell_s + \ell_{e1}}{\frac{\ell_u}{\delta\ell_u} + \frac{\ell_s}{\delta\ell_s} + \frac{\ell_{e1}}{\delta\ell_e}} \quad (3)$$

(3)

$$\delta\ell_e = \frac{\ell_e + \ell_{e2}}{\frac{\ell_e}{\delta\ell_e} + \frac{\ell_{e2}}{\delta\ell_e}} \quad (4)$$

4. ΔP_u , ΔP_e の計算法

図-4において、無応力時のAC, BC間の長さをそれぞれ ℓ_{ou} , ℓ_{oe} とすると、次の関係がなりたつ。

$$\ell_u = \ell_{ou} [1 + \{P + (1-\beta)G + \Delta P_u\} / \delta\ell_u] \quad (5) \quad \ell_e = \ell_{oe} [1 + \{P - \beta G + \Delta P_e\} / \delta\ell_e] \quad (6)$$

$$L_u = \ell_{ou} [1 + \{P + (1-\beta)G + \Delta P_u\} / \delta\ell_u] = \ell_{ou} + \ell_{ou} \cdot \Delta P_u / \delta\ell_u \quad (7)$$

$$L_e = \ell_{oe} [1 + \{P - \beta G + \Delta P_e\} / \delta\ell_e] = \ell_{oe} + \ell_{oe} \cdot \Delta P_e / \delta\ell_e \quad (8)$$

$$L_u^2 = (\ell_{ou} + y)^2 + x^2 \quad (9) \quad L_e^2 = (\ell_{oe} - y)^2 + x^2 \quad (10)$$

また、鉛直方向の力のつり合いから

$$\{P + (1-\beta)G + \Delta P_u\} \cdot y / L_u - (P - \beta G + \Delta P_e) \cdot (L_e - y) / L_e = G \quad (11)$$

水平方向の力のつり合いから

$$\{P + (1-\beta)G + \Delta P_u\} \cdot x / L_u + (P - \beta G + \Delta P_e) \cdot x / L_e = W \quad (12)$$

となる。以上の式から

$$\delta\ell_u \left(\frac{1}{\ell_{ou}} - \frac{1}{L_u} \right) \frac{(\ell_{ou} + \ell_e)^2 + (L_u^2 - L_e^2)}{2(\ell_{ou} + \ell_e)} - \delta\ell_e \left(\frac{1}{\ell_{oe}} - \frac{1}{L_e} \right) \frac{(\ell_{ou} + \ell_e)^2 - (L_u^2 - L_e^2)}{2(\ell_{ou} + \ell_e)} = G \quad (13)$$

$$\delta\ell_u \left(\frac{1}{\ell_{ou}} - \frac{1}{L_u} \right) + \delta\ell_e \left(\frac{1}{\ell_{oe}} - \frac{1}{L_e} \right) \sqrt{L_u^2 - \frac{(\ell_{ou} + \ell_e)^2 + (L_u^2 - L_e^2)}{2(\ell_{ou} + \ell_e)}} = W \quad (14)$$

がなりたつ。したがつて、式(13), (14)を同時に満足する L_u , L_e を試算法によつて求めれば、次式から ΔP_u , ΔP_e が計算できる。

$$\Delta P_u = (L_u - \ell_{ou}) \delta\ell_u / \ell_{ou} \quad (15)$$

$$\Delta P_e = (L_e - \ell_{oe}) \delta\ell_e / \ell_{oe} \quad (16)$$

しかしながら、計算の結果から、また実験の結果からも $\Delta P_u \neq \Delta P_e$ となることがわかつたので、 $\Delta P_u =$

$\Delta P_e = \Delta P$ として次記する簡略式を導く。

式(11), (12)から

$$\frac{(l_u + l_e) \{ P + (1-\beta) G + \Delta P_u \} - L_u G}{L_u (l_e - y)} x = W \quad (17)$$

式(7), (9), (10), (17)から $\Delta P_u = \Delta P_e = \Delta P$ のとき次式をえる。

$$\frac{CD(C - \kappa u + \Delta P) - G}{2\kappa u D - ZE4P - AB\Delta P^2} \cdot \sqrt{A\Delta P (2D + A\Delta P)(2l_u + B\Delta P)(2l_e - B\Delta P)} = W \quad (18)$$

$$\text{ここに, } A = \kappa u + l_{e1} + l_{e2}, \quad B = \kappa u - l_{e2}, \quad C = \kappa u + P + (1-\beta)G \\ D = l_u + l_e, \quad E = l_u l_e / \kappa u - l_{e2} l_e / \kappa e$$

式(18)において、A～Eの値はあるPCTについて一定であるから、 ΔP を求めるためにはこれらの値を用いて試算を行なえば簡単に求まる。

5. 実験、実験結果および計算値との比較

模型実験には、室内で手軽に行なえるように、ケーブルの代りにマンガニン線を用いる方法を用いた。この実験法では、マンガニン線はケーブルの役目と同時にストレインゲージの役割をする。²⁾

(1) PCTを1本の柱に直した場合

PCTは1本の柱に置き換えられるから、図-5に示すようにスプリングバランスを挿入した1本の線について実験を行なう。AB間にプレストレスを導入した後、C点にGを載荷し、Wを変化させてAC, BC間に張力T₁, T₂を測定する。なお、P, G, Wの値は城橋架設(昭和38年、宮崎県)の際のプレストレス量、荷重、風荷重の比に合わせて仮定した。諸値は、スプリングバランスの長さl_s=9.0cm, DC間の長さl_{o1}=91.8cm, BC間の長さl_{o2}=101.0cm, スプリングのび剛さκs=1.786×10³g, マンガニン線のび剛さ1.011×10⁵gである。実験結果からΔPとWの関係を求め、計算結果とともに図-6に示す。表-1は図-6のW=8.4gに相当するものである。その場合の実測値と計算値を比較すれば、表-2のようになる。左

表-1

か、AB間に合成のび剛さκuは式(3)

$$\kappa u = \frac{9.0 + 91.8}{1.786 \times 10^3 + 1.011 \times 10^5}$$

$$= 1.704 \times 10^4 \text{ (g)}$$

となる。

ケーブルの状態	T ₁ g	T ₂ g	W g
プレストレス導入(P)	797	800	0
30.0g 載荷(G)	84.6	56.0	0
風荷重作用(W)	110.2	81.3	8.4

表-2

諸 値	計算値(簡略解)	実測値
低減率 %	85.7	83.2
4P _u g	27.6	25.6
ΔP _e g	25.3	25.3

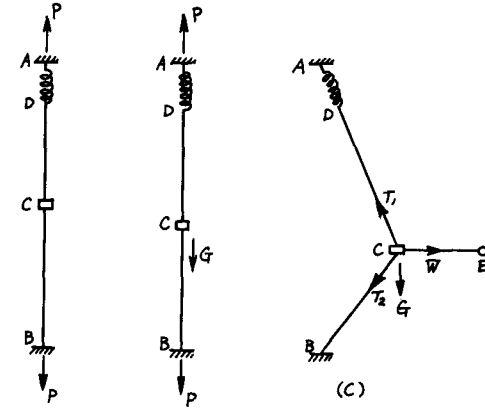


図-5

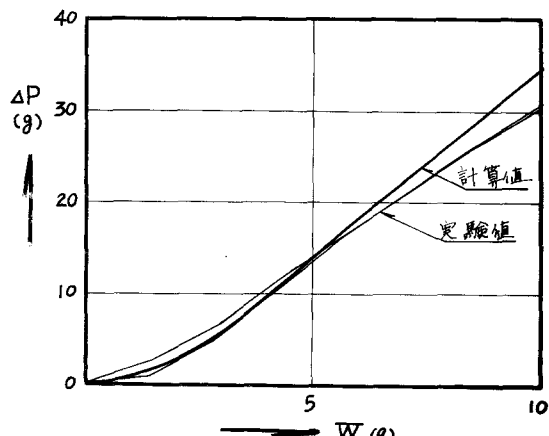


図-6

(2) 吊索2本のPCTの
場合

(1)の実験はPCTを1本の柱に直した場合について行なったものであるが、実際のPCTにおいても、前述の計算式が合うかどうかを調べるために、ここでは図-7に示すような形状のPCTについて比較してみる。

各部の寸法を表-3に示す。

実験法およびスプリングバランス、マンガニン線の剛さは(1)の場合と同様である。 W と ΔP の関係を計算し、実験の両方から求め図-8に示す。表-4の値は、図-8における $W = 3.9$ 時に相当するものである。この実験値と計算値とを比較すると、表-5のようになる。ここで合成の剛さは計算の結果 $\Delta P_u = 9.810 \times 10^3 g$, $\Delta P_e = 6.543 \times 10^4 g$ となった。

6. お す び

以上の結果からわかるように、PCTを1本の柱に直して考えた場合も $\Delta P_u = \Delta P_e$ となり実験値と計算値とがかなりよく合っている。したがって、実際の場合も $\Delta P_u = \Delta P_e = \Delta P$ とした簡略式で風荷重による増加張力をかなり正確に、簡単に求めることができると考えられる。なお、動力学的な実験もマンガニン線を用いる方法によると手軽に、かなり正確に行ない得るものと考えられる。

参考文献

1) 渡辺、出光、太神、飯田；「フレンションドケーブルトラス

構成による橋梁架設新工法に関する研究」土木学会論文集第153号、昭和43年6月

2) 渡辺、出光、太神、豊福；「PCT工法の解析とその実験」橋梁、VOL.4 NO.6、昭和43年6月号
3) 渡辺、出光、吉田、飯田、太神；「PCT(フレンションドケーブルトラス)工法の実施例
と長大橋への応用」橋梁と基礎、2-11、昭和43年11月号

表-3

諸 値	数 值
スパン	l_a 171.0 l_b 171.0
サ グ	f_u 26.6 f_e 7.92
上 索	l_{e1} 62.0 l_{e2} 59.0 l_{e3} 62.0
上吊索	l_{e4} 62.0 l_{e5} 9.0 l_{e6} 62.0 l_{e7} 9.0
下吊索	l_{e8} 62.0 l_{e9} 62.0 l_{e10} 97.0 l_{e11} 59.0 l_{e12} 97.0
	(cm)

図-7

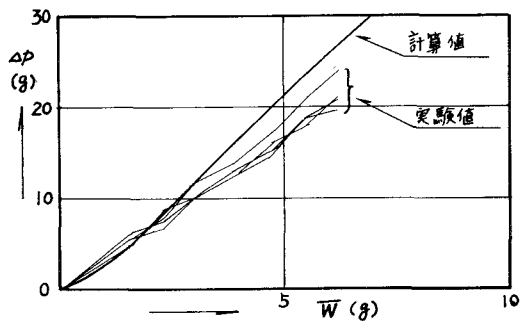
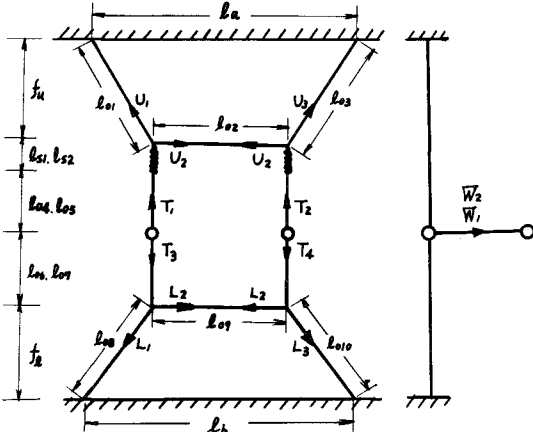


図-8

表-4

諸 値	測定張力 (g)	
	1	2
低減率(%)	82.5	77.0 / 77.6
ΔP_u (g)	12.5 / 13.8	15.7
ΔP_e (g)	12.6 / 13.2	3.9

表-5

1. T_1, T_3, W_1 から求めた実測値

2. T_2, T_4, W_2 から求めた実測値